

東海大学工学部 正会員 宇都一馬
 正会員 ○谷木 衛
 正会員 近藤 博

1. まえがき 「道路橋下部構造設計指針・<11基礎の施工篇」における打撃応力の算定式は、<11頭に発生する応力と被動力が<11を伝ばす間に生じる<11体応力とに区別しており、原案作成に当った筆者らの考え方はずでに明らかにした。⁽²⁾⁽³⁾これによると、<11頭打撃応力 σ_0 は、 $\sigma_0 = c / 2E_p \delta_p H / \{1 + (A_p/A_H) \sqrt{E_p \delta_p / E_H H}\}$ …同指針式(1)式、あるいは、 $\sigma_0 = c / 2E_p \delta_p H$ ($A_p/A_H = 10 \sim \infty$)…同式(2)式で算定することになっている。ここで、Hはラムストローク、 A_p 、 A_H 、 E_p 、 E_H 、 δ_p 、 δ_H はそれぞれ<11およびラムの断面積、弾性係数および単位体積重量を表わし、cは応力効率で0.7(鋼管<11)の値をとる。しかし、この算定式によれば<11頭応力が鋼材の降伏強さを超えることはなく、もちろん座屈、<11頭のみくれなどが現実に発生するという事実に反することが指摘されており。今回鋼管<11で打撃面に極めて近い位置で得られた偏心打撃応力の実測値をもとに、上記問題点や実測値と同指針の算定式との関係について考察する。以下の記述では、式(2)式で $c=1$ としたものをそれぞれ σ_{0r} 、 σ_{0cr} とする。

2. 実験方法 本実験は、千葉県東陽郡御宿町の清水橋架設工事において実施されたもので、図-1に同地点の土質柱状図を示す。試験管<11はΦ50.8×9.5、L=24mの鋼管<112本で、ハンマーはIDH-2Zを使用した。応力測定は図-2に示した位置にストレインゲージ(箔ひずみゲージ、KFC-Z-500-C1-11、ゲージ率2.15)を貼付し、直列ブリッジ回路の一辺とし、出力電圧は直列増幅器(コペル電子製、周波数特性DC~100kHz)で増幅して、データレコーダー(フィリップス製 Analog、周波数特性DC~10kHz)で記録した。なお、計測に関する詳細は文献⁽⁴⁾を参照されたい。解析はデータレコーダーを再生してメモリスコープ(岩谷製 MS5103B)あるいはペン書きレコーダー(日立製 QGS-4Z、ただし再生スピードを1/32に落す)によって記録して行なった。

本実験は、<11のシームの強度試験を目的としたものであったので、打止りの状態(打止りまで約600回打撃)から約3000回の強制打込みを行なったが、最終的に2本の<11とも、<11頭に座屈。変形現象は見られなかった。

3. 結果の検討 図-3は、ハンマーができるだけ偏心して打撃した時の観測波形の一例(<11.2<11)で、打撃面から10cm下のV₁、V₂ゲージには著しい偏心のようすが窺われる。しかし、打撃面から4m下のV₃、V₄ゲージでは偏心の影響は見られず同形の波形となっている。

(1). 偏心打撃応力 ここで、設計施工上問題となるうえあろうV₂ゲージの応力について考察する。図-4は偏心状態でのV₂ゲージのピーケーク応力値をラムストロークに対してもプロットしたもので、図中の2本の理論曲線は前述の σ_{0r} 、 σ_{0cr} に相当するものである。ここで注意すべきことは、 σ_{0r} (<11、ラムの断面積を考慮)に対する効率がしを越える事実であり、これは指針の値 $c=0.7$ より大きくなる。すなわち、極端な偏心打撃を受けるような場合、<11頭の極めて打撃面に近い部分には、半時間ではあるが指針で算定したく<11頭応力より大きな偏心応力が発生する可能性があることになる。また、同時に、この図から偏心打撃応力が σ_{0cr} の値を越えない事を認取れる。

この σ_{0cr} の値は、<11のほんの一部分をラムが打撃するような極端な状態($A_p/A_H=\infty$)に発生するもので、これはラム、<11の断面積に無関係に<11の材質、ラムストロークによって決まるく<11頭打撃応力の限界値というべきものである。(図-6) <11頭とラムの間は複雑な構造をしており、ラムが偏心するような場合には、<11のごく一部が打撃されるような状態が生じ得るこがわかる。この事実は、各ゲージの压

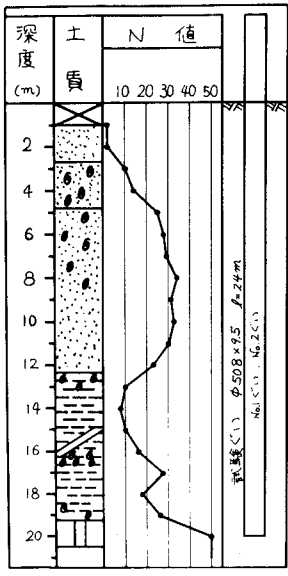


図-1 土質柱状図

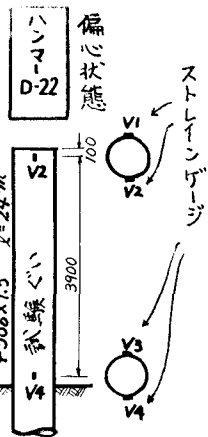


図-2 ストレインゲージ位置

(a) 鋼ぐい

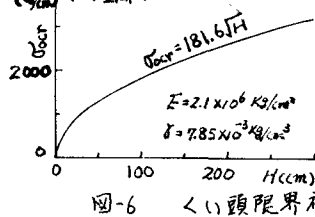


図-6 くい頭限界応力 G_{euc}

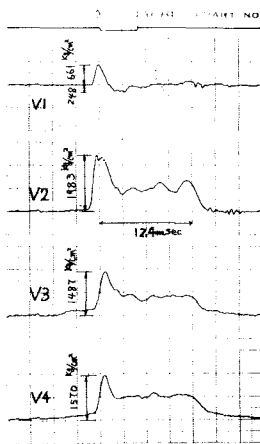


図-3 観測波形の一例 (No.2ぐい)

(b) PCぐい

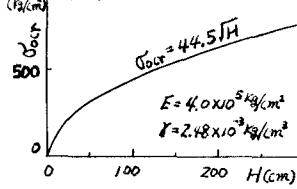


図-6 くい頭限界応力 G_{euc}

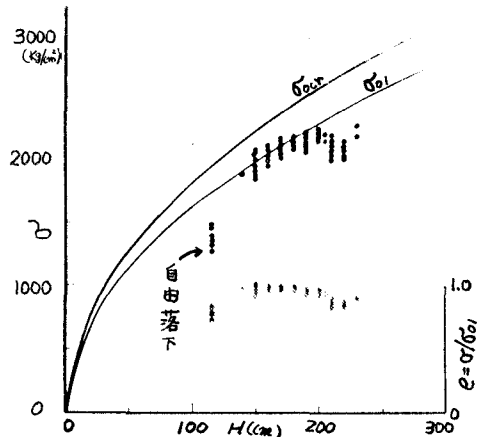


図-4 V₂ゲージの打撃応力

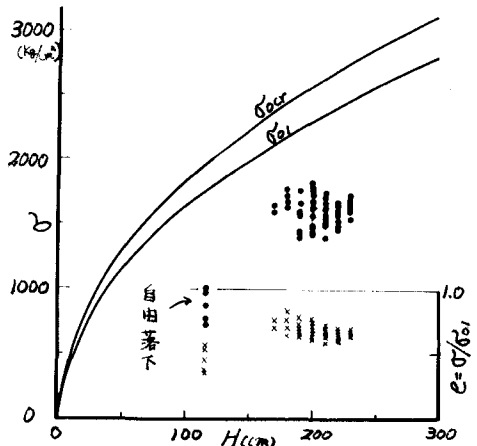


図-5 V₃, V₄ゲージの打撃応力

縮行程、爆発行程などの心り波形の比較からも類推で主。

(2) くい頭打撃応力 V₃, V₄ゲージの応力波形は、圧縮行程、テム衝突時、爆発行程ともほぼ同形となり偏心打撃応力の影響は表われない。図-5には、V₃, V₄ゲージのピーク応力と動率を示したが、 $e=0.6 \sim 0.8$ 程度となり同指針の値と一致する。

したがってくい頭の算定に用いるくい頭応力は後述どうり

の値によってよい。偏心打撃応力の分散の実験をKuoが中実丸棒について行なっており、今回の実験と同様左傾向の結果を示している。⁴⁾

(3) くい頭座屈 くい頭のちうちん座屈などの変形の現象は、打撃応力の絶対値のみでなく、波長(ラムの重量に対する応力)、打撃回数、製作時または運搬時に生じるくい頭の初期的な変形、キャップ・ツッショングの形状などの不整などとの原因と密接な関係があると考えられ、施工に当ってはこれらの点に特に注意する必要がある。

4. まとめ のくいが著しい偏心打撃を受けるとき、打撃面付近には応力の偏心があり、「道路橋下部構造設計指針・くい基礎の施工篇」のくい頭打撃応力の算定値より大きな値が発生し得る。②その最大値は同指針の式(2)式において $e=1$ とおいて推定してよい。(図-6) ③この偏心打撃応力は、下方に伝ばすのに伴い分散し、くい頭からくい径の4~8倍の下方ではほぼ一次元波動となり、くい頭打撃応力は同指針の式(1)式において $e=0.7 \sim 0.8$ として推定してよく、この値をもってくい頭の初期変形などをと密接に関係する。

最後に、本実験は昭和44年12月に実施したもので、当時建設省土木研究所基礎研究室長吉田巖氏、亀甲勝信技官の御指導、御援助を得ました。ここに記して深く感謝いたします。

参考文献 1) 宇都・小笠・吉村; 実験と施工実績を背景とする施工指針の検討(1), 道路, (1969.10). 2) 宇都・冬木・近藤; 波動理論による打込み時くい頭応力の算定式について, 第30回土木学会年次学術講演会(1975). 3) 宇都・冬木・近藤; 打込み時にくい頭に発生する打撃応力の算定式について, 第31回土木学会年次学術講演会(1976). 4) Kuo, S.S.; Experimental Investigation of Eccentric Longitudinal Impact of Bars; Experimental Mechanics, Pergamon Press, (1963).